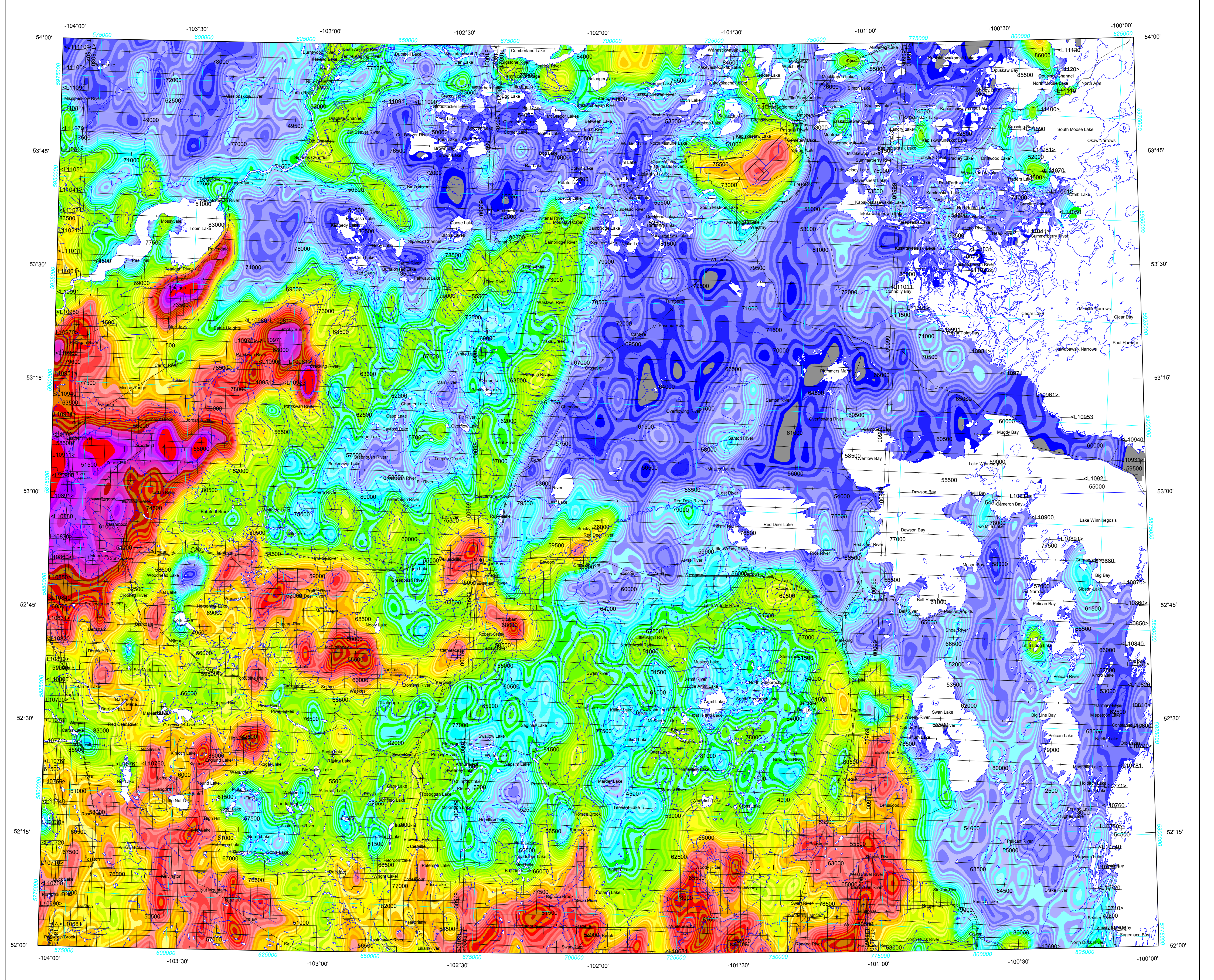




SÉRIE DES CARTES GÉOPHYSIQUES
TAUX D'ABSORPTION NATUREL DES RAYONS GAMMA DANS L'AIR



This map was produced by Natural Resources Canada in co-operation with Health Canada.

Cette carte a été produite par Ressources naturelles Canada en collaboration avec Santé Canada.

GSC OPEN FILE 6742 / DOSSIER PUBLIC 6742 DE LA CGC

GEOPHYSICAL SERIES / SÉRIE DES CARTES GÉOPHYSIQUES
NTS 63 C, 63 D, 63 E and 63 F / SNRC 63 C, 63 D, 63 E and 63 F

AIRBORNE GEOPHYSICAL SURVEY, SWAN RIVER, MANITOBA-SASKATCHEWAN
LEVÉ GÉOPHYSIQUE AÉROPORTÉ, SWAN RIVER, MANITOBA-SASKATCHEWAN

Authors: Carson, J.M., Ford, K.L., Hefford, S.,
Fortin, R. and Harvey, B.J.A.
Data acquired, compilation and map production by Fugro Airborne
Surveys, Ottawa, Ontario. Contract and project management by the
Geological Survey of Canada, Ottawa, Ontario.

Auteurs: Carson, J.M., Ford, K.L., Hefford, S.,
Fortin, R. et Harvey, B.J.A.

L'acquisition, la compilation des données ainsi que la production
des cartes furent effectuées par Fugro Airborne Surveys, Ottawa,
Ontario. La gestion et la supervision du projet furent effectuées
par la Commission géologique du Canada, Ottawa, Ontario.

NATURAL AIR ABSORBED DOSE RATE
TAUX D'ABSORPTION NATUREL DES RAYONS GAMMA DANS L'AIR

Scale 1:500 000 - Échelle 1/500 000

kilometres 10 0 10 20 30 40 kilomètres

Universal Transverse Mercator Projection
NAD83 / UTM zone 13N
© Her Majesty the Queen in Right of Canada 2011
Projet de projection universelle de Mercator
Système de référence géographique NAD83
© Sa Majesté la Reine du Canada 2011

Digital Topographic Data provided by Geomatics Canada, Natural Resources Canada
Données topographiques numériques de Géomatique Canada, Ressources naturelles Canada

Digital versions of this map and corresponding digital profile and gridded geophysical data by individual survey may be downloaded, at no charge, from Natural Resources Canada's Geoscience Data Repository for Geophysical and Geochemical Data at <http://gdr.nrcan.gc.ca/gamma>. The map and digital data are also available, for a fee, from the Geophysical Data Centre, Geological Survey of Canada, 615 Booth Street, Ottawa, Ontario, K1A 0E9, Telephone: (613) 995-5326, email: info@cgdcagc.gc.ca

Les versions numériques de ces cartes ainsi que les données géophysiques en formats « profil » et « mosaïque » pour chaque levé peuvent être téléchargées gratuitement depuis le site de la Collection de données géophysiques et géochimiques de l'Entrepôt des données géospatiales de Ressources naturelles Canada à gdr.nrcan.gc.ca/gamma. La carte et les données numériques sont aussi disponibles, moyennant des frais, au Centre de données géophysiques de la Commission géologique du Canada au 615, rue Booth, Ottawa (Ontario) K1A 0E9. Téléphone : (613) 995-5326, courriel : info@cgdcagc.gc.ca.



MAP LOCATION - LOCALISATION DE LA CARTE

A quantitative gamma-ray spectrometric airborne geophysical survey of Southern Alberta, Southern Saskatchewan, and West-central Manitoba was completed by Fugro Airborne Surveys. The survey was flown from August 4th to September 27th, 2011 using a Cessna 208B Caravan aircraft (C-GNCA) and a Cessna 404 Caravan aircraft (C-FYAU). The nominal traverse line spacing was 5000 m, and the aircraft flew at a nominal terrain clearance of 150 m at an air speed between 200 and 270 km/h. Traverse lines were oriented 90°. The flight path was recovered following post-flight differential corrections to raw data recorded by a Global Positioning System.

AIRBORNE GEOPHYSICAL SURVEY
Gamma-ray Spectrometric Data

The airborne gamma-ray measurements were made with Exploranium GR820 gamma-ray spectrometers. Each detector system consisted of fourteen 102 x 106 mm NaI (Tl) crystals. The main detector arrays consisted of twelve crystals (total volume 50.4 litres). Two crystals (total volume 8.4 litres), shielded by the main arrays, were used to detect variations in background radiation caused by atmospheric radon. The systems constantly monitored the natural thorium peak for each crystal, and using a Gaussian least squares algorithm, adjusted the gain for each crystal.

Potassium is measured directly from the 1460 keV gamma-ray photons emitted by K^{40} , whereas uranium and thorium are measured indirectly from gamma-ray photons emitted by their daughters; i.e. U^{238} and T^{232} . Although these daughters are far down their respective decay chains, they are assumed to be in equilibrium with their parents; thus gamma-ray spectrometric measurements of uranium and thorium are referred to as equivalent uranium and equivalent thorium, i.e. eU and eTh . The energy windows used to measure potassium, uranium and thorium are, respectively: 1370 - 1570 keV, 1660 - 1860 keV, and 2410 - 2810 keV.

Gamma-ray spectra were recorded at one-second intervals. During processing, the spectra were energy calibrated, and the counts were accumulated into the windows described above. Counts from the radon detectors were recorded in a 1660 - 1860 keV window and radiation at energies greater than 3000 keV was recorded in the 2410 - 2810 keV window. The windows were corrected for dead time, with the exception of the atmospheric radon detector which had no dead time. The window data were then averaged for spectral scattering in the main arrays and detectors. Corrections for deviations from the planned terrain clearance and for variation of temperature and pressure were made prior to conversion to ground concentrations of potassium, uranium and thorium, using factors determined from flights over the Breckenridge, Quebec calibration range. The factors for potassium, uranium, and thorium were, respectively: 74.365 cps%, 7.457 cps/ppm, and 4.826 cps/ppm for C-FYAU and 78.92 cps%, 6.07 cps/ppm, and 5.32 cps/ppm for C-GNCA.

Corrected data were filtered and interpolated to a 500 m grid interval. The results of an airborne gamma-ray spectrometer survey represent the average surface concentrations that are influenced by varying amounts of outcrop, overburden, vegetation cover, soil moisture and surface water. As a result the measured concentrations are usually lower than the actual bedrock concentrations. The natural air absorbed dose rate in nanograys per hour was computed from the measured concentrations of potassium, uranium and thorium. A more comprehensive description of airborne gamma ray spectrometry surveys including technical specifications, instrumentation, calibration, data processing and interpretation is covered by Grasty et al., (1991), Grasty and Minty (1995), and the International Atomic Energy Agency (2003) and references therein.

LEVÉ GÉOPHYSIQUE AÉROPORTÉ

Un levé géophysique aéroporté de spectrométrie gamma a été réalisé dans le sud de l'Alberta, le sud de la Saskatchewan, et le centre-ouest du Manitoba par la société Fugro Airborne Surveys. Le levé a été effectué du 4 au 27 septembre 2011 à bord d'un avion Cessna 208B Caravan (C-GNCA) et un Cessna 404 Caravan (C-FYAU). L'espacement nominal des lignes de vol était de 5000 m, alors que l'altitude nominale de levé était de 150 m au-dessus du sol et que la vitesse était de 200 à 270 km/h. Les lignes de vol étaient orientées à 90°. La trajectoire de vol a été restituée par l'application après le vol de corrections différentes aux données brutes enregistrées avec un récepteur GPS.

Données de spectrométrie gamma

Les mesures du rayonnement gamma ont été effectuées respectivement à l'aide d'un spectromètre gamma Exploranium GR820 utilisant quatorze cristaux de NaI (Tl) 102 x 102 x 406 mm. Le réseau de capteurs se compose de douze cristaux (volume total de 50.4 litres), protégés par le réseau principal, ont été utilisés pour déceler les variations du rayonnement naturel causées par le radon atmosphérique. Le dispositif permettait de faire un suivi constant des pics de thorium pour chacun des cristaux, et au moyen d'un algorithme d'ajustement gaussien par l'intermédiaire des mondes carrés, de compenser le gain pour chaque cristal.

Le point de mesure a été déterminé d'après les photons gamma émis par K^{40} et U^{238} , tandis que l'uranium et le thorium sont mesurés indirectement en captant les photons gamma émis par les produits de fission U^{234} et T^{232} pour le thorium. Bien que ces radionucléides se filtrent tout bien dans leur chaîne respective de désintégration, on presume qu'ils sont en équilibre avec leur radionucléide père; ainsi, les mesures spectrométriques du rayonnement gamma de l'uranium et du thorium sont déterminées comme des équivalents d'uranium et des équivalents de thorium, soit eU et eTh . Les plages d'énergie utilisées pour mesurer le potassium, l'uranium et le thorium sont respectivement de 1 370 à 1 570 keV, de 1 660 à 1 860 keV et de 2 410 à 2 810 keV.

Les spectres du rayonnement gamma ont été enregistrés pendant des intervalles d'une seconde. Pendant le traitement, les spectres ont été soumis à un étalement énergétique et les coups ont été cumulés dans les plages décrites ci-dessous. Les coups obtenus à l'aide des capteurs de radon ont été enregistrés dans la plage de 1 660 à 1 860 keV et le rayonnement à des énergies supérieures à 3 000 keV a été enregistré dans la plage du rayonnement cosmique. Les coups enregistrés dans les plages ont été corrigés pour tenir compte du temps mort, du rayonnement fond dû au rayonnement cosmique et des corrections pour l'efficacité des détecteurs. Les corrections pour l'efficacité des détecteurs ont ensuite été corrigées pour tenir compte de la diffusion spécifique dans le sol et l'air et les capteurs. Les corrections pour les écarts à la hauteur de vol prévue et les variations de température et de pression ont été effectuées avant la conversion en concentrations équivalentes au sol du potassium, de l'uranium et du thorium, en utilisant des facteurs déterminés par une comparaison avec des résultats obtenus lors de vols effectués au-dessus d'une bande d'étalement à Breckenridge, Québec. Les facteurs déterminés pour le potassium, l'uranium et le thorium étaient respectivement de 78.92 cps%, 6.07 cps/ppm, et 5.32 cps/ppm pour C-GNCA et de 74.39 cps%, 7.46 cps/ppm, et 4.83 cps/ppm pour C-FYAU.

Un filtre a été appliqué aux données corrigées, qui ont ensuite été interpolées suivant une grille à maille de 500 m. Les résultats d'un levé aérien de spectrométrie gamma représentent les concentrations moyennes à la surface, qui sont influencées par les étendues variables des affleurements, des morts-terrains, de la couverture végétale et de l'eau de surface. Par conséquent, les concentrations mesurées sont habituellement plus faibles que les concentrations réelles dans le sol. La mesure de la dose absorbée par l'air, en nanograys à l'heure, a été déterminée d'après les concentrations moyennes de potassium, d'uranium et de thorium. Une description plus complète de la spectrométrie gamma aéroportée, incluant les spécifications techniques, l'instrumentation, les techniques de calibration, le traitement et l'interprétation des données a été présentée par Grasty et coll., (1991), Grasty et Minty (1995), et par l'Agence internationale de l'Energie Atomique (2003).

References/Références

Grasty, R.L., Mellander, H. and Parker, M. (1991) Airborne Gamma-ray spectrometer surveying: International Atomic Energy Agency, Technical Report Series 323, Vienna, 97 p.

Grasty, R.L. and Minty, B.R.S. (1995) A guide to the technical specifications for airborne gamma-ray surveys; Australian Geological Survey Organisation, Record 1995/60, 89 p.

International Atomic Energy Agency. 2003. Guidelines for radioelement mapping using gamma ray spectrometry data. IAEA-TECDOC-1363, 173 p.

PLANIMETRIC SYMBOLS / SYMBOLES PLANIMÉTRIQUES

Roads	—	Routes
Railway	- - -	Chemin de fer
Power Line	— - -	Ligne de transport d'énergie
Drainage	—	Drainage
Flight path	L1001>	Ligne de Vol

nGy/h

51.0

49.2

47.4

45.6

43.8

42.0

40.2

38.4

36.6

34.8

33.0

31.2

29.4

27.6

25.8

24.0

22.2

20.4

18.6

16.8

15.0

13.2

11.4

9.6

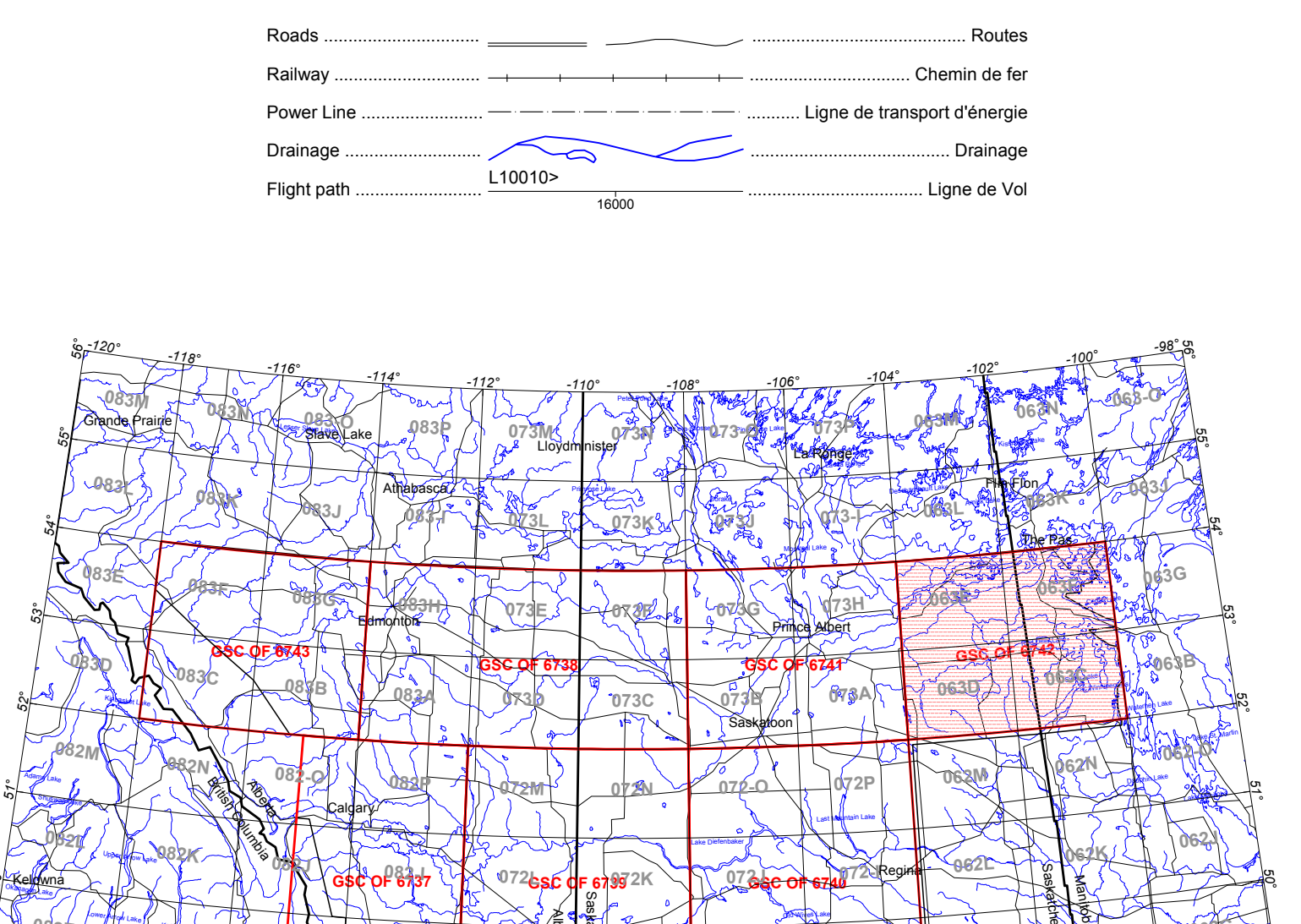
7.8

6.0

4.2

2.4

0.6



NATIONAL TOPOGRAPHIC SYSTEM REFERENCE AND GEOPHYSICAL MAP INDEX
SYSTÈME NATIONAL DE RÉFÉRENCE CARTOGRAPHIQUE ET INDEX DES CARTES GÉOPHYSIQUES

AIRBORNE GEOPHYSICAL SURVEY, SWAN RIVER, MANITOBA-SASKATCHEWAN
LEVÉ GÉOPHYSIQUE AÉROPORTÉ, SWAN RIVER, MANITOBA-SASKATCHEWAN

MAP SHEET SUMMARY / SOMMAIRE DES FEUILLETS
CGC Feuillet MAP / CARTE

1. Natural Air Absorbed Dose Rate
Taux d'absorption naturel des rayons gamma dans l'air
2. Potassium
3. Uranium
4. Thorium
5. Uranium / Thorium
6. Uranium / Potassium
7. Thorium / Potassium
8. Ternary Radioelement Map
Diagramme ternaire des radioéléments

Recommended citation:
Carson, J.M., Ford, K.L., Hefford, S., Fortin, R. and Harvey, B.J.A., 2011.

Geophysical Series, NTS 63 C, 63 D, 63 E and 63 F,
Airborne Geophysical Survey, Swan River, Manitoba-Saskatchewan;
Commission géologique du Canada, Dossier public 6742;
échelle 1/500 000.

Notation bibliographique conseillée:
Carson, J.M., Ford, K.L., Hefford, S., Fortin, R. and Harvey, B.J.A., 2011.

Geophysical Series, NTS 63 C, 63 D, 63 E and 63 F,
LEVÉ GÉOPHYSIQUE AÉROPORTÉ, SWAN RIVER, MANITOBA-SASKATCHEWAN;
Commission géologique du Canada, Dossier public 6742;
échelle 1/500 000.